#### Journal of Nuclear and Radiochemistry

## DRD ECM P-TBP-煤油萃取性能的研究\*

### I. 萃取 HNO₃-Gd 过程中形成第二有机相的研究

## 黄子林 胡景炘

(中国原子能科学研究院放射化学研究所, 北京 102413)

研究了DRDECM P-TBP-煤油萃取 HNO $_3$  溶液过程中第二有机相的出现和防止因素; 探讨了DRDECM P-TBP-煤油萃取 HNO $_3$ -Gd 时, DRDECM P 浓度、TBP 浓度、水相起始 HNO $_3$  浓度以及温度对第二有机相的形成和负载量的影响,确定了能满足工艺负载量要求的DRDECM P-TBP-煤油的组成。

**关键词** DRDECM P 第二有机相 负载量 Gd<sup>3+</sup> 中**图分类号** O · 615.11

处理高放废液(HLLW)的一种合理办法, 是将其中的锕系元素(An)提取出来单独处理。 萃取法从HLLW 中提取An 比其它方法更具有优越性。国内外对双官能团萃取剂DHDECMP在 HLLW 中的应用进行了广泛深入的研究, 它的显著特点是在较高 HNO3 介质中An (III, IV, VI) 有较高的萃取分配比, 对稀土元素 (RE) 又具有较高的负载量, 从而可以从 HLLW 中直接有效地萃取 An  $(11^{-6}]$ 。为了降低 CMP类萃取剂的价格, 采用具有混合烷氧基链结构的萃取剂 DRDECM P (R= C<sub>3</sub>H<sub>11</sub>O ~ C<sub>7</sub>H<sub>15</sub>O, 其中以 C<sub>6</sub>H<sub>15</sub>O 为主) 以代替 DHDECM P (H= C<sub>6</sub>H<sub>15</sub>O)。为了使 DRDECM P 处理 HLLW 工艺过程更为方便可行, 采用后处理流程中常用的稀释剂煤油。工艺过程中要求萃取体系不形成第二有机相, 有高的萃取分配比和有机相负载量。本文旨在对 DRDECM P-TB P-煤油的负载量及萃取 HNO3-Gd 的第二有机相的形成和防止进行研究. 并与 DHDECM P 的有关性能进行相应比较。

### 1 实验部分

#### 1.1 主要仪器和化学试剂

ZD-2 型调速多用振荡器: 800 型离心沉淀器: 501 型超级恒温箱。

TBP(AR): 先经N  $a_2$ CO  $a_3$  HNO  $a_4$  各洗  $a_4$  次, 然后用水洗至中性, 最后配成所需体积分数。 DRDECM P( $\alpha_4$  90%): 由核工业北京化工冶金研究院合成提供, 按照文献[3]依次用N  $a_4$ CO  $a_4$ 

收稿日期: 1998-02-17 收到修改稿日期: 1998-06-26 黄子林: 男, 30 岁, 核化学化工专业, 硕士, 助理研究员

<sup>\*</sup> 核工业科学基金资助项目

 $HNO_3$  各洗 3 次, 然后用水洗至中性, 最后用大孔阴离子交换树脂 256 × 16 型  $(OH \ 2)$  纯化, 以除去其中的酸性降解物, 然后配成所需体积分数。

EDTA, 标准试剂: Gd2O3, w 99%; 其它试剂皆为分析纯。

#### 1.2 分析方法

- 1.2.1 萃取振荡时间的选择 实验结果表明,相比 R(o/a) = 1 时,萃取在 1 m in 内即达到平衡。本实验中, R(o/a) = 1 时,萃取振荡采用 10 m in; R(o/a) = 1/15 时,萃取振荡采用 20 m in。所有萃取都在磨口具塞萃取管中进行。萃取前在恒温水浴中预热 5 m in,然后恒温振荡,离心分相,有机相和水相分别取样分析。
- 1.2.2 HNO 3 的分析 以甲基橙为指示剂, 用标准 N aO H 溶液滴定。有机相先用水反萃后再滴定。
- 1.2.3 Gd³+ 的分析 水相 Gd³+: 加入六次甲基四胺-HC1 缓冲溶液, 调节至 pH 5.4, 加二甲酚橙作指示剂, ED TA 标准液滴定。 有机相 Gd³+: 在锥形瓶中加入六次甲基四胺-HC1 缓冲溶液, 充分摇晃, 使有机相 Gd³+ 充分反萃入水相后, 调至 pH 5.4, 加二甲酚橙指示剂, ED TA 标准液滴定。

#### 2 结果和讨论

- 2.1 防止萃取过程中形成第二有机相的研究

表 1 DRDECM P-煤油萃取 HNO3 分相情况

Table 1 The formation of the second organic phase in the extraction of HNO3 with DRD ECM P-kerosene

| (m)(a) /( 1 x - 1) —                             |   | ØDRDECM P)/% |    |    |    |  |  |  |
|--|---|--------------|----|----|----|--|--|--|
| $c(\text{HNO}_3)/(\text{mol}\cdot\text{L}^{-1})$ | 5 | 10           | 15 | 20 | 25 |  |  |  |
| 0. 10  | - | -            | -  | +  | +  |  |  |  |
| 0.20   | - | -            | +  | +  | +  |  |  |  |
| 0.40   | - | +            | +  | +  | +  |  |  |  |
| 0.60   | - | +            | +  | +  | +  |  |  |  |
| 0.80   | - | +            | +  | +  | +  |  |  |  |

注(notes): (1)"- '表示不出现第二有机相,"+ '表示出现第二有机相,以下各表同("- "and "+ " represent no appearing and appearing the second orgain phase, respectively the notes are suitable for the following tables); (2) 有机相(organic phase): DRDECM P-煤油(kerosene); 水相(aqueous): HNO 3; R (o/a) = 1, t= 25

2.1.2 DRDECM P-TBP-煤油-HNO<sub>3</sub> 体系 25% DRDECM P-TBP-煤油萃取 HNO<sub>3</sub> 形成第二有机相的情况列入表 2。由表 1 和表 2 对照可知, DRDECM P-煤油中加入 TBP 后, 对抑制第二有机相的形成有明显的作用: 当  $\mathcal{Q}(TBP) < 30\%$ 、 $c(HNO_3) = 3.0 \, mol / L$  时, 萃取出现第二有机相; 当  $\mathcal{Q}(TBP) = 35\%$  时, 即使  $c(HNO_3)$  增高至  $7.0 \, mol / L$ ,也不出现第二有机相。原因可能是 DRDECM P 的分子极性大, 萃取 HNO<sub>3</sub> 后的萃合物在非极性溶剂中的溶解度小, 加入的 TBP 能增大萃合物的溶解度。

表 2 25 % D RD ECM P-TBP-煤油萃取 HNO 3 形成第二有机相的情况 Table 2 The formation of the second organic phase in the extraction of

| lable 2 | The formation of the second organic phase in the extract |
|---------|--|
|         | HNO3 with DRD ECM P-TBP-kerosene                         |

| (myo ) // 1 x - 1) —                               | 9(TBP)/% |    |    |           |       |      |    |  |  |
|--|----------|----|----|-----------|-------|------|----|--|--|
| $c(\text{HNO}_3)/(\text{mol} \cdot \text{L}^{-1})$ | 5        | 10 | 15 | 20        | 25    | 30   | 35 |  |  |
| 0.5  | +        | -  | -  | -         | -     | -    | -  |  |  |
| 1.0  | +        | +  | -  | -         | -     | - 4  | -  |  |  |
| 2.0  | +        | +  | +  | +         | +     | - /_ | -  |  |  |
| 3.0  | +        | +  | +  | +         | +     | + 1  | -  |  |  |
| 4.0  | +        | +  | +  | + _       | +     |      | -  |  |  |
| 5.0  | +        | +  | +  | +         | +     |      | -  |  |  |
| 6. 0   | +        | +  | +  | 1+        | + \\\ | +    | -  |  |  |
| 7. 0   | +        | +  | +  | \\+ 2/\\\ | + 122 | +    | -  |  |  |

注(notes): 有机相(organic phase): DRDECM P-TBP-煤油(kerosene); 水相(aqueous phase): HNO3; R (o/a) = 1, t= 25

#### 2.2 Gd 在DRDECM P-TBP-煤油中的负载量的研究

无 Gd (代表稀土) 时, 采用 25% DRD ECM P-35% TBP-煤油为萃取剂, 水相 HNO  $_3$  浓度高达 7.0 mol/L, 两相接触也不出现第二有机相。在此所指的负载量, 是指有机相萃取 Gd 和 HNO  $_3$  形成第二有机相后, 弃去水相, 逐滴加入新鲜的有机相直至第二有机相恰好消失, 并恒温放置 16 h 以上不出现第二有机相时的 RE 和 HNO  $_3$  的浓度。萃取时, 有机相与水相之比为 1

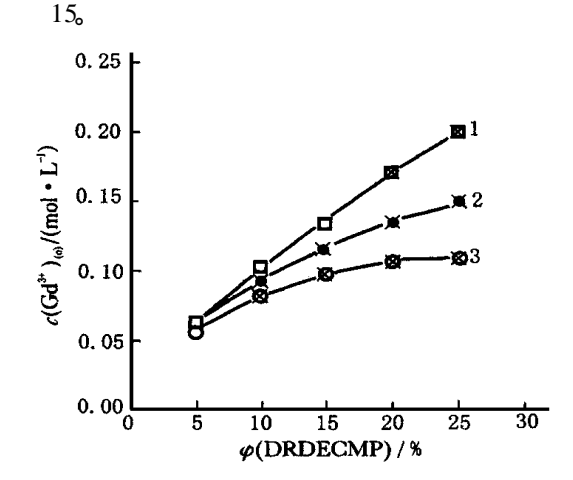


图 1 DRDECM P 体积分数对萃取 Gd<sup>3+</sup> 的影响

Fig. 1 The effect of DRD ECM P concentration on the extraction of  $Gd^{3+}$   $R (o/a) = 1 \quad 15, t = 25 \quad ;$ 

有机相(organic phase):

DRDECM P-TBP-煤油(kerosene),

初始水相(aquous phase):

3. 0 mol/L HNO 3-0. 30 mol/L Gd<sup>3+</sup>;

 $\mathcal{Q}(TBP) / \%: 1 - - 45, 2 - - 40, 3 - - 35$ 

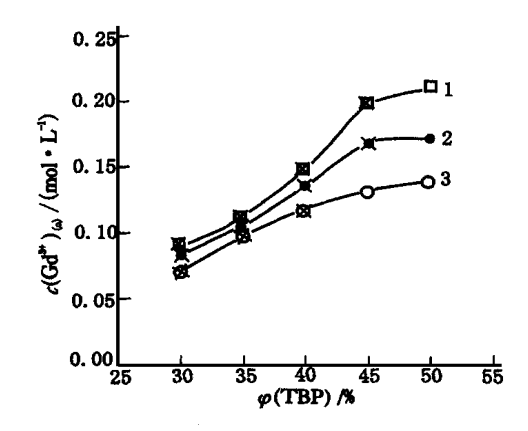


图 2 TBP 体积分数对萃取 Gd<sup>3+</sup> 的影响

Fig. 2 The effect of TBP concentration on the extraction of Gd<sup>3+</sup>

 $R (o/a) = 1 \quad 15, t= 25$  ;

有机相(organic phase):

DRDECM P-TBP-煤油(kero sene),

初始水相(aqueous phase): 同图 1(as same as Fig 1);

 $\mathcal{Q}_{DRDECM P}$  /%: 1—25, 2—20, 3—15

注(notes): "x '表示此时出现第二机相, 所测浓度为负载量, 下同("x 'represents the concentration of Gd measured in organic phase after the second organic phase disappeared by adding fresh DRDECM P-TBP-kerosene to the organic phase separated from aqueous phase droplet by droplet, the same below)。

**2.2.1** DRDECM P 和 TBP 浓度的影响 25% DRDECM P-35% TBP-煤油萃取 3.0 mol/L HNO<sub>3</sub> 不出现第二有机相, 但水相加入 0.30 mol/L Gd<sup>3+</sup> 后, 则形成了第二有机相。

 $\mathcal{Q}_{DRDECM\ P}$ ) 对萃取  $Gd^{3+}$  的影响示于图 1。从图 1 可看出, $\mathcal{Q}_{DRDECM\ P}$ ) 5% 时,有利于避免第二有机相的形成; $\mathcal{Q}_{DRDECM\ P}$ )升高,出现第二有机相的可能性增大。随着  $\mathcal{Q}_{DRDECM\ P}$ )升高,有机相 Gd 的浓度或负载量也增大。

 $\mathcal{Q}(TBP)$  对萃取  $Gd^{3+}$  的影响示于图 2。从图 2 可以看出,  $\mathcal{Q}(TBP)$  低, 容易出现第二有机相;  $\mathcal{Q}(TBP)$  升高, 出现第二有机相的可能性减小。因而, 增加  $\mathcal{Q}(TBP)$  ,有利于消除萃取  $HNO_3$ -R E 形成的第二有机相。  $\mathcal{Q}(TBP)$  体积分数增加, 有机相中 Gd 的负载量或浓度也增加, 但在不出现第二有机相的情况下,有机相 Gd 的浓度增幅比出现第二有机相时增幅小。 25 , $\mathcal{Q}(TBP)$  增加到 50%, $\mathcal{Q}(DRDECMP)$  高至 25%,有机相  $\mathcal{C}(Gd)=0$ . 21 mol L ,也不出现第二有机相。

- 2. 2. 2 水相起始  $HNO_3$  浓度对萃取 Gd 的影响 水相硝酸浓度对  $Gd^{3+}$  和  $HNO_3$  萃取的影响 示于图 3。 从图 3 可看出,水相中  $HNO_3$  从 2.0 mol/L 起始升至 6.0 mol/L 时,萃入有机相的  $HNO_3$  浓度增大,萃取  $Gd^{3+}$  的负载量降低。原因可能是萃取  $HNO_3$  量的增加,对  $Gd^{3+}$  有排斥作用。
- 2. 2. 3 温度的影响 温度对  $Gd^{3+}$  和  $HNO_3$  萃取的影响示于图 4。从图 4 可以看出, 温度升高,  $Gd^{3+}$  和  $HNO_3$  的负载量也升高, 有利于避免萃取  $Gd^{3+}$  和  $HNO_3$  后第二有机相的形成。这是萃合物在有机相中的溶解度增大的缘故。

与以前对DHDECM P-TBP-煤油萃取 HNO3和 Gd 的研究结果相比较可知, DRDECM P-TBP-煤油与DHDECM P-TBP-煤油的第二有机相形成以及萃取 HNO3-RE 的负载量非常接近, 这说明DRDECM P与DHDECM P在这方面的性能相当接近。

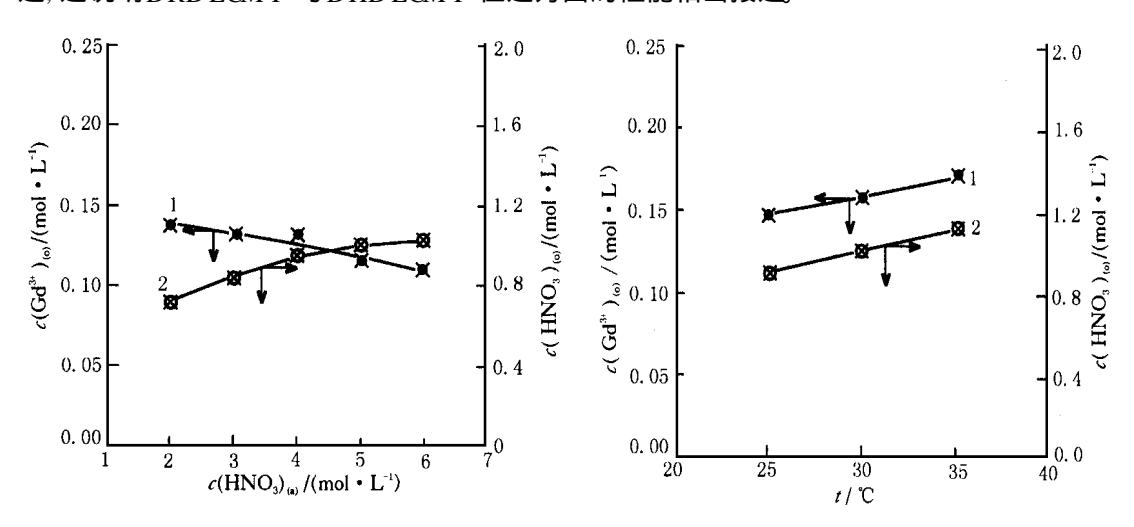


图 3 水相酸度对 Gd<sup>3+</sup> 和 HNO 3 萃取的影响 Fig 3 The effect of HNO 3 concentration on the extraction of Gd<sup>3+</sup> and HNO 3 有机相(organic phase): 25% DRDECM P-40% TBP-煤油(kerosene),

初始水相 (aqueous phase): HNO 3-0 30 mol/L Gd<sup>3+</sup>;

R (o/a) = 1 15, t= 25

图 4 温度对 Gd<sup>3+</sup> 和 HNO<sub>3</sub> 萃取的影响

Fig. 4 The effect of temperature on the extraction of Gd<sup>3+</sup> and HNO<sub>3</sub> 有机相(organic phase): 25%DRDECM P-45% TBP-煤

油(kerosene), 水 相(aqueous phase): HNO 3-0 30 mol/L Gd<sup>3+</sup>;

 $R (o/a) = 1 \quad 15$ 

#### 3 结 论

DRDECM P-煤油萃取 HNO  $_3$  时极易出现第二有机相, 加入适量的 TBP 后, 能很好地消除第二有机相, 并对 Gd  $^3$  和 HNO  $_3$  有高的负载量。 DRDECM P 和 TBP 浓度以及温度升高都使 DRDECM P-TBP-煤油体系萃取 Gd  $^3$  的负载量升高; 水相起始 HNO  $_3$  浓度升高, 使得萃入有机相的 HNO  $_3$  浓度增大, 降低 Gd  $^3$  的负载量。 处理 HLLW 的合适萃取剂浓度为 25% DRDECM P-45% TBP-煤油。

#### 参 考 文 献

- 1 Croff AG Radioactive Waste Management In: Wymer RG, PhD, Vondra BL, eds Light Water Reactor Nuclear Fuel Cycle Boca Raton, Florida: CRC Press, Inc 1981: 191~242
- 2 赵沪根, 傅丽春, 隗秀芳, 等 DHDECM P 从强放废液中分离和回收锕系-镧系元素的研究 原子能科学技术, 1990, 24(4): 60~74
- 3 赵沪根, 叶玉星, 杨学先 双配位基有机磷萃取剂 DHD ECM P 萃取 Am (III) 的研究 原子能科学技术, 1983, (3): 332
- 4 杨学先, 叶玉星 N, N-二乙胺甲酰甲撑膦酸二己酯萃取硝酸和稀土元素的研究 原子能科学技术, 1983, (5): 559
- 5 叶玉星, 隗秀芳 N,N-二乙胺甲酰甲撑膦酸二己酯萃取钆的研究 原子能科学技术, 1987, (5): 551
- 6 Vandegrift G.F. Leonard R.A., Steindler M.J., et al. Transuranic Decontam ination of Nitric Acid Solutions by the TRU EX Solution Process-Prelim inary Development Studies: ANL-84-45, Argonne National Laboratory, 1984
- 7 黄子林, 赵沪根, 胡景炘 DHDECM P-TBP-煤油萃取 HNO₃-RE 过程中防止形成第二有机相的研究 原子 能科学技术, 1998, 32(4): 338

## STUDY ON EXTRACTION PROPERTIES OF DRD ECM P-TBP-KEROSENE

# I. AVO DANCE OF THE SECOND OR GAN IC PHASE FORMATION IN EXTRACTION OF HNO<sub>3</sub>-Gd

Huang Zilin Hu Jingxin

(China Institute of A tom ic Energy, P. O. B ox 275(26), B eijing 102413)

#### **ABSTRACT**

The formation and avoidance of a second organic phase during the extraction of HNO 3 and Gd with DRDECM P-TBP-kero sene have been studied. The influence of concentrations of DRDECM P, TBP in organic phase and nitric acid in aqueous phase and temperature on a second organic phase formation and loading capacity of Gd have also been studied. The recommended organic phase component for extraction flow sheet is 25% DRDECM P-45% TBP-kero sene.

**Key words** DRDECM P Second organic phase Loading capacity Gd<sup>3+</sup>